



## کاربرد روش ترکیبی برنامه ریزی ریاضی و منطق فازی برای بررسی عدم قطعیتها در ضرایب تابع هدف

دکتر یدالله سبوچی

عضو هیات علمی دانشکده مکانیک دانشگاه صنعتی شریف

Saboohi@sharif.edu

حمیدرضا مهربد

دانشجوی مقطع کارشناس ارشد مهندسی سیستمهای انرژی دانشگاه صنعتی شریف

hrm658@yahoo.com

کلمات کلیدی

برنامه ریزی ریاضی، عدم قطعیت، منطق فازی، تابع عضویت

### چکیده:

در مورد برنامه ریزی ریاضی با ضرایب هدف فازی رویکردهای زیادی ارائه شده ولی می توان گفت تقریباً هیچیک از آنها جواب صریحی مبنی بر بهترین بردار تصمیم و همچنین ضریب بهینه ای که بالاترین درجه امکان را برای هر دو- بردار و ضریب بهینه- داشته باشند، ارائه نمی نماید. در این مقاله سعی بر آن است که با استفاده از مدل‌های برنامه ریزی با منابع- یا تقاضای- فازی با استفاده از رویکردی دو مرحله ای این مشکل را برطرف نماییم. این نوع مدلها عموماً جوابهای یکسانی را ارائه داده و از همان منطقی که اولین بار **بلمن و زاده** ارائه کردند، پیروی می کنند. همچنین یک مدل حمل و نقل از نرم افزار GAMS نیز به عنوان مطالعه موردی بررسی می شود. در انتها رویکردی در مورد برازش منحنی تابع عضویت با استفاده از برنامه ریزی (۰۱) ارائه می شود تا کاربران در انتخاب شکل تابع عضویت فازی با محدودیت کمتری مواجه باشند.



مقدمه:

برنامه ریزی ریاضی در مورد تخصیص بهینه منابع محدود به فعالیتهای مختلف با هدف معینی مثل حداکثر کردن سود یا حداقل کردن هزینه بحث می کند. بعنوان نمونه یک مساله برنامه ریزی خطی را می توان به صورتهای زیر در نظر گرفت:

$$\left\{ \begin{array}{l} \min \quad z = f(w, y) = wy \\ S.t \quad g(A, x) = yA \geq Q \\ x \geq 0 \end{array} \right. \longleftrightarrow \left\{ \begin{array}{l} \max \quad z = f(c, x) = cx \\ S.t \quad g(A, x) = Ax \leq b \\ x \geq 0 \end{array} \right.$$

که C بردار ضرائب سود و W بردار ضرائب هزینه تابع هدف ، b بردار کلیه منابع در دسترس و Q بردار تقاضای موجود، y, x بردار متغیرهای تصمیم (انتخاب) و A ماتریس ضرائب تکنولوژیکی (فنی) است . داده های ورودی (A, b, c) بخاطر کامل نبودن یا عدم دسترسی به اطلاعات کافی عموماً نامعین و مبهم هستند. برای فرمولبندی این حالات و اعداد مبهم می توانیم از منطق فازی و مفهوم تابع عضویت استفاده کنیم. ([1],[2],[3]) درجه تابع عضویت ، میزان مطلوبیت هر عدد را در بازه تولرانسی نشان می دهد که میزان مطلوبیت برای رخ دادن یک رویداد است. فرض می شود هدفها ومحدودیتهای برنامه ریزی در یک وضعیت مبهم و نامعین را می توان در غالب برنامه ریزی فازی بررسی کرد، همچنین تصمیم گیری را نتیجه تداخل هدفها و محدودیتها بیان کرده و اولین پایه حل مدل را بر مبنای تعیین محیط تصمیم گیری فازی قرار می دهیم.

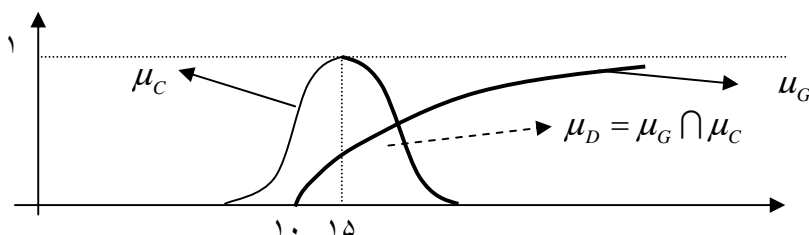
بعنوان مثال [3] هدف و محدودیت فازی را بصورت; هدف (G): x اکیداً از ۱۰ بزرگتر باشد" و محدودیت (C): x در مجاورت ۱۵ می باشد" تعریف می کنیم. به این منظور توابع عضویت G , C را به یکدیگر مرتبط کرده و اشتراک این دو را بعنوان منطقه تصمیم گیری فازی برمی گزینیم. این عمل بوسیله توابع عضویت هر یک انجام می شود. ( منظور از  $\mu$  میزان عضویت و یا درجه مطلوبیت می باشد)

$$\mu_{G \cap C}(x) = \mu_G(x) \cap \mu_C(x) = \min(\mu_G(x) \text{ و } \mu_C(x))$$

انتخابهای مختلف برای تصمیم گیری بایستی در محدوده مشترک هدفها و محدودیتها باشد.

بصورت شماتیک داریم:

$$D = G \cap C \quad \Rightarrow \quad \mu_D = \mu_G \cap \mu_C$$



اگر  $\mu_D$  یک max یگانه داشته باشد، آن نقطه می تواند بعنوان نقطه تصمیم گیری انتخاب شود وگزینه ای است که هم محدودیتها و هم هدف را با بالاترین میزان مطلوبیت ارضاء می کند.

مدل سازی هر یک از حالات فازی در یک مساله برنامه ریزی ریاضی عبارتند از: برنامه ریزی خطی با منابع (یا تقاضای) فازی، برنامه ریزی خطی با ضرائب تکنولوژیکی فازی، برنامه ریزی خطی با ضرائب هدف فازی ، برنامه ریزی خطی با ضرائب فنی و منابع (یا تقاضای) فازی ، برنامه ریزی خطی با ضرائب هدف و ضرائب تکنولوژیکی فازی، برنامه ریزی خطی با کلیه ضرائب فازی، برنامه ریزی خطی با ضرائب فنی و منابع (یا تقاضا) و تولرانس منابع (یا تقاضای) فازی ، برنامه ریزی غیر خطی فازی، برنامه ریزی عدد صحیح و (۰-۱) فازی . کلیه رویکردهایی که در مورد برنامه ریزی فازی مطرح شده، در جدول شماره (۱) مشاهده می شود.



تا کنون مدل‌های زیادی برای برنامه‌ریزی خطی فازی با ضرائب هدف فازی پیشنهاد شده است. از جمله رویکرد Verdegay [4],[13],[14], [18], رویکرد [5], [17], [5] Lai, Hwang, رویکرد [5] Wolf, Hanuscheck Rommelfanger, رویکرد [5] Vila, Verdegay, Delgado [4], [5], [9], [18], [21] و رویکرد [4] Kaufmann. اما هیچیک نتیجه نهایی صریحی در مورد ضریب و بردار بهینه ارائه نمی‌دهند. اما در مقابل، مدل‌های برنامه‌ریزی با منابع فازی جوابها و نتایج بهتری را دربر دارند. بجز رویکرد verdegay [18], [13], [5], [4], می‌توان رویکرد [5], [14], [11], [10], [12], [15] Zimmermann و رویکرد [16] Chanas را نام برد که بسته به نوع مساله عموماً جوابهای یکسانی می‌دهند. در این بین رویکرد Werner مورد استفاده قرار گرفته و نحوه استفاده از آن در مدل‌های با ضریب هدف فازی از طریق دو بار استفاده از مدل دوگان (dual) تشریح می‌شود.

### مدل اولیه:

اگر سود واحد هر فعالیت و یا هزینه آن بطور دقیق قابل تعیین نباشد آنگاه مساله برنامه‌ریزی خطی با ضرائب هدف فازی زیر پیشنهاد می‌شود.

$$\begin{cases} \min \tilde{b}Y \\ \text{s.t. } YA \geq C \end{cases} \quad \text{رابطه (۱)}$$

از آنجا که می‌خواهیم از مدل‌های برنامه‌ریزی با RHS (Right Hand Side) فازی استفاده کنیم، دوگان مدل فوق را نوشته و از رویکرد Werner استفاده می‌کنیم.

### ... مرحله اول ...

در این مرحله سعی می‌کنیم با استفاده از رویکرد Werner مقدار بهینه ضریب تابع هدف را تعیین کنیم.

### رویکرد Werner:

در این مساله میزان منابع یا تقاضا در محدودیت‌های مساله بطور دقیق معلوم نبوده و دارای عدم قطعیت می‌باشند.

$$\begin{cases} \max CX \\ \text{s.t. } AX \leq \tilde{b} \\ X \geq 0 \end{cases} \quad \text{رابطه (۲)}$$

وی پیشنهاد کرد که تابع هدف نیز بایستی فازی باشد و آن هم بدلیل آن که محدودیت‌های مشابه فازی بوده و هدف نیز خودبخود فازی می‌باشد. با همان فرضیه تولرانس  $(b_i^U - b_i^L)$  برای منبع  $(b_i)$  را در نظر گرفته و مقادیر حدی برای تابع هدف را در قالب عبارت زیر پیشنهاد کرد:

$$\begin{cases} z^L = \max cx \\ \text{s.t. } (AX)i \leq b_i^L \quad \forall i, x \geq 0 \end{cases} \quad \& \quad \begin{cases} z^U = \max cx \\ \text{s.t. } (AX)i \leq b_i^L + (b_i^U - b_i^L) \quad \forall i, x \geq 0 \end{cases} \quad \text{رابطه (۳)}$$



با این حساب می‌توانیم تابع عضویتی برای تابع هدف تشکیل داده که جواب بهینه بین  $z^L$  و  $z^U$  تغییر می‌کند، بصورتیکه با افزایش مقدار  $z$ ، درجه مطلوبیت آن نیز افزایش می‌یابد. تابع عضویت هدف، بشکل زیر نوشته می‌شود:

$$\mu_0(x) = \begin{cases} 1 & cx > z^U \\ \frac{cx - z^L}{z^U - z^L} & z^L \leq cx \leq z^U \\ 0 & cx < z^L \end{cases} \quad \text{رابطه (۴)}$$

همچنین تابع عضویت محدودیتها نیز بصورت زیر شکل می‌یابد:

$$\mu_{c_i}(x) = \begin{cases} 0 & \text{if } (AX)i < b_i^L & \forall i \\ \frac{(b_i^U - (AX)i)/(b_i^U - b_i^L)} & \text{if } b_i \leq (AX)i \leq b_i^L + (b_i^U - b_i^L) & \forall i \\ 1 & \text{if } (AX)i > b_i^L + (b_i^U - b_i^L) & \forall i \end{cases} \quad \text{رابطه (۵)}$$

با استفاده از این تابع عضویت می‌توان برای یافتن جواب بهینه، تابع عضویت منطقه تصمیم‌گیری ( $\mu_D(x)$ ) را تعیین کرده و از این طریق،  $\max$  آنرا پیدا کنیم تا جواب بهینه تعیین شود:

$$\begin{cases} \max \mu_D = \max[\mu_0(x) \cap \mu_{c_1}(x) \cap \mu_{c_2}(x) \dots] \\ \mu_D \geq \alpha \end{cases} \Rightarrow \begin{cases} \max \alpha \\ \text{s.t } \mu_0(x) \geq \alpha & \alpha \in [0,1] \\ \mu_{c_i}(x) \geq \alpha & x \geq 0 \end{cases} \quad \text{رابطه (۶)}$$

در نتیجه مدل بهینه را می‌توان بصورت زیر نوشت:

$$\begin{cases} \max \alpha \\ \text{s.t } CX \geq (z^U - z^L)\alpha + z^L \\ AX \leq b^U - (b^U - b^L)\alpha \\ \alpha \in [0,1], x \geq 0 \end{cases} \quad \text{رابطه (۷)}$$

مسلم است که ما نمی‌توانیم برای مدل‌های کلان و با ابعاد بزرگ براحتی از دوگان آن استفاده کنیم. همچنین این مدل صرفاً  $X^*$  بهینه را می‌دهد که مورد نظر ما نمی‌باشد. بهمین دلیل به ( $\alpha$ ) نیز مانند دیگر متغیرها نگاه کرده و دوگان مدل فوق را می‌نویسیم:

$$\begin{aligned} \min \quad & b^U Y - z^L Y^0 \\ \text{S.t} \quad & YA - CY^0 \geq 0 \\ & (b^U - b^L)Y + (z^U - z^L)Y^0 \geq 1 \\ & Y, Y^0 \geq 0 \end{aligned} \quad \text{رابطه (۸)}$$

مشاهده می‌شود این مدل از لحاظ ساختاری کاملاً مشابه مدل رابطه (۱) بوده و در حقیقت برای بدست آوردن مقدار بهینه ( $\alpha^*$ ) کافیست که متغیر مجازی ( $Y^0$ ) تعریف شده، عبارت  $(-z^L Y^0)$  به تابع هدف اضافه شده و همچنین تمام مقادیر عددی طرف راست نامساوی (RHS) همین فلوئ مجازی ضرب شده و به طرف چپ برده شوند و تنها یک محدودیت به شکل زیر به مدل اضافه شود:

$$(b^U - b^L)Y + (z^U - z^L)Y^0 \geq 1 \quad \text{رابطه (۹)}$$

مقدار بهینه مدل فوق همان بالاترین درجه مطلوبیت مدل قبل می‌باشد. طبعاً انتظار نداریم برداری که از حل این مدل بدست می‌آید بعنوان بردار بهینه پذیرفته شود. زیرا این بردار قیمتهای سایه مدل فازی (رابطه (۷)) بوده و نمی‌تواند به عنوان جواب بهینه پذیرفته شود. شایان ذکر است



جواب مدل رابطه (۷) قیمت سایه بهینه مدل اولیه (رابطه (۱)) با ضرایب فازی است. همچنین مقدار بهینه ضریب تابع هدف نیز با داشتن  $(\alpha^*)$  بصورت روبرو بدست می آید:

$$b^* = b^U - (b^U - b^L)\alpha^* \quad \text{رابطه (۱۰)}$$

... مرحله دوم ...

پس چون با قرار دادن  $b^*$  در مدل رابطه (۲) بردار بهینه مدل بدست می آید و این بردار قیمت سایه بهینه مدل اولیه (رابطه (۱)) می باشد طبعاً با قرار دادن این مقدار در مدل اولیه (رابطه (۱)) بعنوان ضریب بهینه تابع هدف، بردار بهینه مدل را بدست می آوریم. مدل بهینه نهایی عبارت است از:

$$\begin{aligned} \min & [b^U - (b^U - b^L)\alpha^*] Y \\ \text{S.t} & YA \leq C \end{aligned} \quad \text{رابطه (۱۱)}$$

... مطالعه موردی ...

برای نمونه مدل حمل و نقل GAMS را با در نظر گرفتن عدم قطعیت در فاصله بین یک جفت از شهرها، بررسی می کنیم. قرار است از دو شهر San-Diego, Seattle, San-Diego کالاهای تولید شده به سه شهر متقاضی New-York, Chicago و Topeka برده شود. هزینه حمل کالاها نیز برحسب فواصل شهرها از یکدیگر ارزیابی می شود. بعنوان نمونه فرض می کنیم که فاصله دو شهر San-Diego, Topeka, در بازه [1.4, 2] و همچنین فاصله دو شهر Seattle, Topeka در بازه [1.8, 2] تغییر کند.

d(i,j)	New-York	Chicago	Topeka
Seattle	2.5	1.7	[1.8,2]
San-Diego	2.5	1.8	[1.4,2]

مدل اولیه عبارت است از:

$$\left\{ \begin{aligned} \min & 0.09(2.5x_{11} + 1.7x_{12} + [1.8,2]x_{13} + 2.5x_{21} + 1.8x_{22} + [1.4,2]x_{23}) \\ \text{S.t} & x_{11} + x_{12} + x_{13} \leq 350 \\ & x_{21} + x_{22} + x_{23} \leq 600 \\ & x_{11} + x_{21} \geq 325 \\ & x_{12} + x_{22} \geq 300 \\ & x_{13} + x_{23} \geq 275 \\ & x \geq 0 \end{aligned} \right.$$

مقدار تابع هدف به ازای تولرانس در این فاصله در بازه [153.675, 168.525] واقع میشود. پس  $(z^L = 153.675)$ . بر طبق مرحله اول، مدل زیر را ابتدا بررسی می کنیم:



$$\left\{ \begin{array}{l} \min 0.09(2.5x_{11} + 1.7x_{12} + [1.8, 2]x_{13} + 2.5x_{21} + 1.8x_{22} + [1.4, 2]x_{23}) \\ S.t \quad x_{11} + x_{12} + x_{13} - 350x_0 \leq 0 \\ \quad \quad x_{21} + x_{22} + x_{23} - 600x_0 \leq 0 \\ \quad \quad x_{11} + x_{21} - 325x_0 \geq 0 \\ \quad \quad x_{12} + x_{22} - 300x_0 \geq 0 \\ \quad \quad x_{13} + x_{23} - 275x_0 \geq 0 \\ \quad \quad 0.09[2 - 1.8]x_{13} + 0.09[2 - 1.4]x_{23} + [168.525 - 153.675]x_0 \geq 1 \\ \quad \quad x \geq 0 \end{array} \right.$$

جواب بهینه تابع هدف در این حالت عبادت است از:  $\alpha^* \cong 0.55$   
در نتیجه مقدار بهینه ای که برای فاصله پیشنهاد می شود عبارت است از:

$$d^*(seattle, topeka) = 1.89$$

$$d^*(san - diego, topeka) = 1.67$$

بر طبق مرحله دوم، مدل بهینه زیر را حل می کنیم:

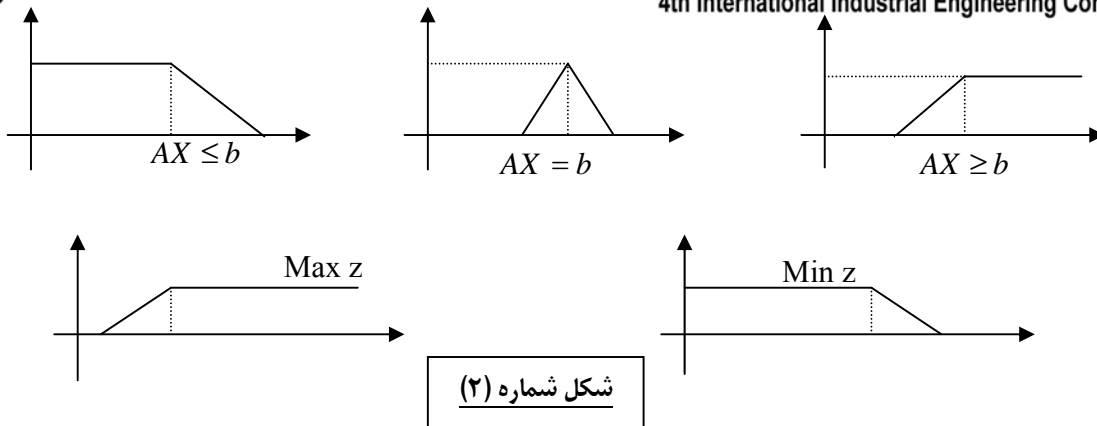
$$\left\{ \begin{array}{l} \min 0.09(2.5x_{11} + 1.7x_{12} + [1.89]x_{13} + 2.5x_{21} + 1.8x_{22} + [1.67]x_{23}) \\ S.t \quad x_{11} + x_{12} + x_{13} \leq 350 \\ \quad \quad x_{21} + x_{22} + x_{23} \leq 600 \\ \quad \quad x_{11} + x_{21} \geq 325 \\ \quad \quad x_{12} + x_{22} \geq 300 \\ \quad \quad x_{13} + x_{23} \geq 275 \\ \quad \quad x \geq 0 \end{array} \right.$$

جواب و بردار بهینه نیز عبارت است از:

Z*	X <sub>11</sub>	X <sub>12</sub>	X <sub>13</sub>	X <sub>21</sub>	X <sub>22</sub>	X <sub>23</sub>
160.375	50	300	0	275	0	275

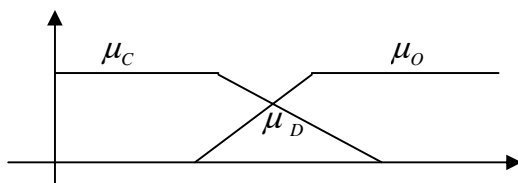
#### تابع عضویت و انواع برازش [4]

در یک مساله برنامه ریزی ریاضی تابع عضویتی که به محدودیتها و یا تابع هدف نسبت داده می شود بر حسب اینکه نوع محدودیت ( $\leq$  یا  $\geq$ ) و هدف max یا min کردن باشد بصورت زیر می باشد [4]:



شکل شماره (۲)

$A$  ماتریس ضرائب فنی،  $b$  بردار منابع (یا تقاضا) و  $Z$  تابع هدف می باشد. بازه هایی که با  $p$  مشخص شده اند درحقیقت همان تاثیر عدم قطعیت بر تابع ویا پارامتر مورد نظر می باشد که معروف به تولرانس آن کمیت می باشد. توابع عضویتی که در فوق مشاهده می شود از نوع مثلثی بوده و ساده ترین شکل ممکن است که می توان به یک رخداده نسبت داد. در مدل‌های برنامه ریزی فازی مهمترین اصل تعیین محیط تصمیم گیری فازی است. همانگونه که در یک مساله برنامه ریزی ساده، محدودیتها ی مدل، یک منطقه موجه ویا منطقه تصمیم گیری را مشخص می نمود، در این حالت نیز  $\mu_C$  مجموعه اشتراک توابع عضویت محدودیتها را مشخص می کند. اما در این حالت تابع هدف نیز فازی است و میزان مطلوبیت مقادیر آن برای ما تقریباً از پیش تعیین شده است، بهمین دلیل برای بدست آوردن منطقه موجه می بایست اشتراک تابع عضویت هدف را همراه تابع عضویت محدودیتها بعنوان منطقه تصمیم گیری در نظر گرفت. (شکل زیر)



$$\mu_C = \mu_{C1} \cap \mu_{C2} \cap \dots \cap \mu_{Cn}$$

$$\mu_D = \mu_O \cap \mu_C$$

شکل شماره (۳)

پس  $\mu_D$  منطقه موجه تصمیم گیری را بما می دهد. بعد بهترین نقطه یا بهترین بردار  $X$  از طریق یافتن  $\max \mu_D$  حاصل می شود و آن نقطه ای است که بالاترین درجه امکان یا مطلوبیت را داراست.

مهمترین مساله ای که می توان در این مرحله به آن پرداخت شکل تابع عضویت است بگونه ای که یا پدیده بوسیله توابع از پیش تعیین شده براحتی قابل تعریف نباشد و یا خود کاربر درجه عضویت را به دلخواه تعیین کند. البته در هر دو حالت باید توجه داشت که درجه عضویت نقاط متوالی با یستی سیر صعودی یا نزولی داشته باشد. بنابراین در این بخش تابع عضویت تکه تکه پیوسته معرفی می شود...  
بایستی بین سه نوع برازش منحنی محدب و مقعر تمایز قائل شد:

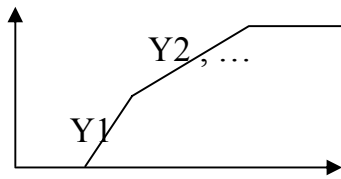
برازش منحنی نوع محدب، برازش منحنی نوع مقعر و برازش منحنی نوع محدب-مقعر

### برازش منحنی تابع عضویت

#### (۱) برازش منحنی نوع محدب:

همانگونه که از شکل پیداست شیب منحنی از چپ به راست دائماً کاهش است در حال و یک روند یکنواخت داشته و در حقیقت شکل یک مجموعه محدب را بخود گرفته .

<sup>1</sup>. کلیه تکنیکهای برنامه ریزی +1 از [23] ایده گرفته شده است.



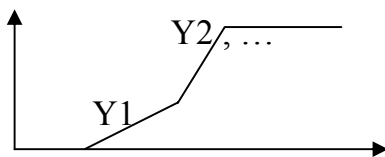
$$\begin{cases} \alpha \in [0,1] \\ \alpha \leq Y_1, \alpha \leq Y_2, \dots, \alpha \leq Y_N \end{cases} \quad \text{رابطه (۱۲)}$$

شکل شماره (۴)

در این حالت کافی است معادله هر خط را بیابیم و بعد مجموعه  $\alpha$  را مطابق فوق تشکیل دهیم. وقتی قرار باشد این  $N$  معادله همزمان برقرار باشند، محدوده اشتراک آنها سطح زیر منحنی ( $\alpha$ ) را میدهد.

### ۲) برازش منحنی نوع مقعر:

در این حالت به سادگی حالت قبل نمی توان پیش رفت و برای داشتن سطح زیر منحنی بایستی از متغیرهای  $\delta_i$  و  $\alpha$  استفاده کنیم.



شکل شماره (۵)

در این قسمت  $\delta_i$  هازا معرفی می کنیم که مقادیر  $\delta_i$  و  $\alpha$  را اختیار می کنند. برای  $n$  پاره خط روابط بصورت زیر در می آیند:

$$\begin{cases} -M\delta_1 + \alpha \leq Y_1 \\ -M\delta_2 + \alpha \leq Y_2 \\ \vdots \\ -M\delta_n + \alpha \leq Y_n \end{cases} \quad \& \quad \sum_{i=1}^n \delta_i = n-1 \quad \& \quad \alpha \in [0,1] \quad \& \quad \delta_i \in \{0,1\} \quad \text{رابطه (۱۳)}$$

باجرای همزمان این معادلات تابع عضویتی که شامل کل سطح زیر منحنی باشد بدست می آید.

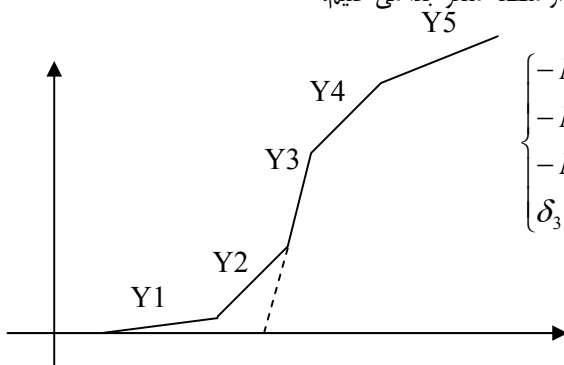
### ۳) برازش منحنی نوع محدب-مقعر:

اگر به مفهوم تابع عضویت و روند افزایشی (کاهشی) درجه عضویت نقاط متوالی در آن دقت شود، معلوم می شود با توجه به این روند این منحنی می تواند چندین بار تغییر تقعر بدهد. بایستی بتوان قسمتهای محدب و مقعر را از هم تمیز داده و روابط قبلی مربوط به هر یک را بنویسیم.

### ۳-۱) تابع با یک بار تغییر تقعر:

#### ۳-۱-۱) در انتهای با درجه امکان بالا محدب و در انتهای دیگر مقعر :

در این حالت نگارش روابط بصورت زیر می باشد: منطقه محدب را انتخاب کرده و از منطقه مقعر جدا می کنیم،



$$\begin{cases} -M\delta_3 + \alpha \leq Y_3 \\ -M\delta_3 + \alpha \leq Y_4 \\ -M\delta_3 + \alpha \leq Y_5 \\ \delta_3 + \delta'_3 = 1 \end{cases} \quad \& \quad \begin{cases} M\delta'_3 + \alpha \geq Y_3 \\ -M\delta_1 + \alpha \leq Y_1 \\ -M\delta_2 + \alpha \leq Y_2 \\ \delta_1 + \delta_2 = \delta'_3 + 1 \end{cases} \quad \text{رابطه (۱۴)}$$

شکل شماره (۶)

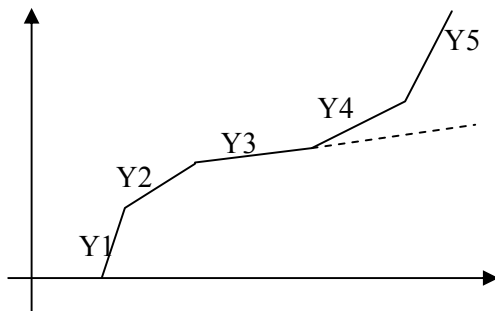
که در معادلات فوق  $\delta_i$  ها مقادیر  $\{0,1\}$  بوده و  $M$  مقدار عددی بزرگی است.





۳-۱-۲) در انتهای با درجه امکان بالا مقعر و در انتهای دیگر محدب :

در این حالت نگارش روابط بصورت زیر می باشد:



$$\begin{cases} M\delta'_3 + \alpha \geq Y3 \\ -M\delta_1 + \alpha \leq Y4 \\ -M\delta_2 + \alpha \leq Y5 \\ \delta_1 + \delta_2 = \delta'_3 + 1 \end{cases} \quad \& \quad \begin{cases} -M\delta_3 + \alpha \leq Y3 \\ -M\delta_3 + \alpha \leq Y1 \\ -M\delta_3 + \alpha \leq Y2 \\ \delta'_3 + \delta_3 = 1 \end{cases}$$

شکل شماره (۷)

رابطه (۱۵)

اگر بعد از Y5 روند تقعر ادامه داشته باشد (در کل n شکست مقعر) به ازای هریک از شکستها یک  $\delta$  تعریف کرده و عبارت عمومی زیر را می نویسیم:

$$\begin{cases} M\delta'_0 + \alpha \geq Y3 \\ -M\delta_1 + \alpha \leq Y4 \\ -M\delta_2 + \alpha \leq Y5 \\ \vdots \\ \delta_1 + \dots + \delta_n = \delta'_0 + (n-1) \end{cases} \quad \& \quad \begin{cases} -M\delta_0 + \alpha \leq Y3 \\ -M\delta_0 + \alpha \leq Y1 \\ -M\delta_0 + \alpha \leq Y2 \\ \delta'_0 + \delta_0 = 1 \end{cases}$$

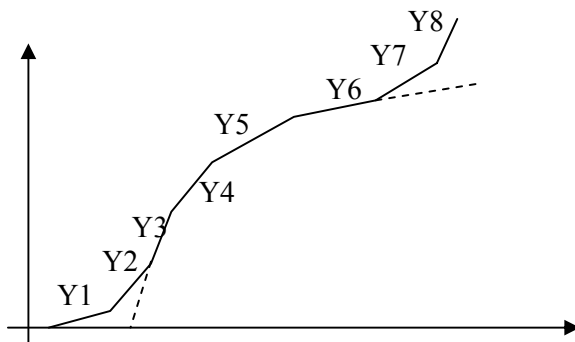
رابطه (۱۶)

یعنی اگر  $\delta'_0 = 0$  باشد، هر دفعه یکی از  $\delta_k$  ها برابر صفر می شود.

۳-۲) تابع با چند بار تغییر تقعر:

این حالت نیز مانند حالت قبل بررسی می شود، کافی است که مناق محدب و مقعر را از هم تمیز داده و معادلات مربوط به آنها را بنویسیم:

۳-۲-۱) ابتدا و انتها مقعر و در میانه محدب:



شکل شماره (۸)

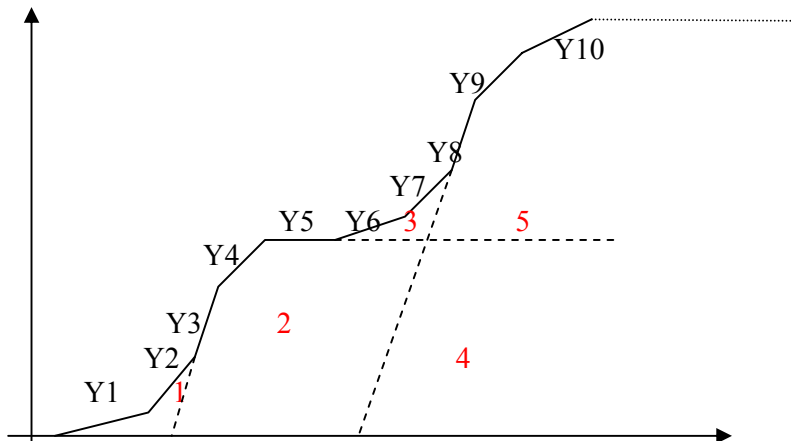
در این حالت نگارش روابط بصورت زیر می باشد:

$$\begin{cases} -M\delta_3 + \alpha \leq Y3 \\ -M\delta_3 + \alpha \leq Y4 \\ -M\delta_3 + \alpha \leq Y5 \\ -M\delta_3 + \alpha \leq Y6 \end{cases} \quad \& \quad \begin{cases} M\delta'_3 + \alpha \geq Y3 \\ -M\delta_1 + \alpha \leq Y1 \\ -M\delta_2 + \alpha \leq Y2 \\ \delta_1 + \delta_2 = \delta'_3 + 1 \end{cases} \quad \& \quad \begin{cases} M\delta''_3 + \alpha \geq Y6 \\ -M\delta_7 + \alpha \leq Y7 \\ -M\delta_8 + \alpha \leq Y8 \\ \delta_7 + \delta_8 = \delta''_3 + 1 \end{cases} \quad \& \quad (\delta_3 + \delta'_3 + \delta''_3 = 2)$$

رابطه (۱۷)

۳-۲-۲) در انتهای با درجه امکان بالا محدب و در انتهای دیگر مقعر (شکل زیر):

همانطور که در شکل مشاهده می شود با جدا کردن مناطق محدب (نقطه چین) کل ناحیه زیر تابع عضویت به ۵ ناحیه افراز می شود. کافی است بتوانیم معادلاتی بنویسیم که شامل تمام نقاط مناطق موج پهنجانه شده و بهیچ وجه وارد منطقه غیر موج نشده و از آن تجاوز نکند. پنج دسته معادله بصورت زیر نوشته می شوند:



شکل شماره (۹)

$$\begin{array}{l}
 1. \begin{cases} -M\delta_{N1} + \alpha \geq Y3 \\ -M\delta_2 + \alpha \leq Y2 \\ -M\delta_1 + \alpha \leq Y1 \\ \delta_1 + \delta_2 = \delta_{N1} + 1 \end{cases} \quad
 2. \begin{cases} M\delta_{N2} + \alpha \geq Y8 \\ -M\delta_{N2} + \alpha \leq Y3 \\ -M\delta_{N2} + \alpha \leq Y4 \\ -M\delta_{N2} + \alpha \leq Y5 \end{cases} \quad
 3. \begin{cases} M\delta_{N3} + \alpha \geq Y5 \\ M\delta_{N3} + \alpha \geq Y8 \\ -M\delta_6 + \alpha \leq Y6 \\ -M\delta_7 + \alpha \leq Y7 \\ \delta_6 + \delta_7 = \delta_{N3} + 1 \end{cases} \quad
 4. \begin{cases} -M\delta_{N4} + \alpha \leq Y5 \\ -M\delta_{N4} + \alpha \leq Y8 \\ -M\delta_{N4} + \alpha \leq Y9 \\ -M\delta_{N4} + \alpha \leq Y10 \end{cases} \quad
 5. \begin{cases} M\delta_{N5} + \alpha \geq Y5 \\ -M\delta_{N5} + \alpha \leq Y8 \\ -M\delta_{N5} + \alpha \leq Y9 \\ -M\delta_{N5} + \alpha \leq Y10 \end{cases}
 \end{array}$$

$$\left( \sum_{i=1}^{k=5} k - 1 = 4 \quad \& \quad \delta \in \{0,1\} \quad \& \quad \alpha \in [0,1] \right) \quad \text{رابطه (۱۸)}$$

مشاهده می شود با اضافه کردن شرط آخر، هر دفعه یکدسته از معادلات اجرا می شود. تعداد تقسیمات در هر نوع (محدب یا مقعر) بهیچ وجه حائز اهمیت نمی باشد، مهم تغییرات تقعر و تعداد آن می باشد. این روند قابل بسط بوده و می توان تعداد تغییرات تقعر را افزایش داد. همانند رویکردهایی که در مورد توابع عضویت محدودیتهای نامساوی ذکر شد می توان همین روند را در مورد محدودیتهای مساوی بسط داد.



انواع رویکردها در مسائل برنامه ریزی ریاضی فازی

جدول شماره (۱) - انواع رویکردها در مسائل برنامه ریزی ریاضی فازی

برنامه‌ریزی خطی با منابع فازی
• رویکرد Verdegay [5],[4],[18],[13]
• رویکرد Werner [5], [14], [11]
• رویکرد Zimmerman [12], [10],[15]
• رویکرد Chanas [16]
برنامه ریزی خطی با ضرایب تکنولوژیکی فازی
• رویکرد Gasimove , Yenilmez [6]
برنامه‌ریزی خطی با ضرائب هدف فازی
• رویکرد Verdegay [18],[14],[13],[4]
• رویکرد Lai , Hwang [5],[17]
• رویکرد Wolf , Hanuscheck , Rommelfanger [5]
• رویکرد Vila , Verdegay , Delgado [21], [4], [18], [5], [9]
• رویکرد Kaufmann [4]
برنامه‌ریزی خطی با ضرایب تکنولوژیکی و منابع فازی
• رویکرد Ramic , Rimanek [5],[7]
• رویکرد Tanaka , Ichihashi , Asia [8]
• رویکرد Gasimove , Yenilmez [6]
برنامه ریزی خطی با ضرائب هدف و ضرائب تکنولوژیکی فازی
• رویکرد Lai , Hwang [5], [17]
برنامه ریزی خطی با کلیه ضرائب فازی
• رویکرد Carlsson , Korhonen [8],[22]
• رویکرد Lai , Hwang [8],[17]
• رویکرد Buckley [20],[10]
برنامه ریزی خطی با ضرایب فنی ، منابع و تولرانس منابع فازی
• رویکرد Yager 1 [19]
• رویکرد Yager 2 [19]
• رویکرد Campo [4]
• رویکرد Dubois , Prade-امکان ضعیف [4]
• رویکرد Dubois , Prade-امکان قوی [4]
• رویکرد Tanaka , Ichihashi [4]
برنامه‌ریزی غیر خطی فازی
برنامه‌ریزی عدد صحیح فازی
• رویکرد Stocia و Fabian [4]
برنامه‌ریزی خطی (۰-۱) فازی



## منابع و مراجع

- [1] س. م. طاهری، آشنایی با نظریه مجموعه های فازی، جهاد دانشگاهی، واحد مشهد، ۱۳۷۵.
- [2] م. ماشین چی، مجموعه های مشکک، دانشگاه شهید باهنر کرمان، ۱۳۷۹
- [3] Zimmermann.H.J., *Fuzzy set theory and its application*, Kluwer Academic Publishers, Boston [1990]
- [4] Lai, Hwang, *Fuzzy Mathematical Programming*, Springer-Verlag [1992]
- [5] لی وانگ، ترجمه: م. تشنه لب، ن. صفاریپور، د. افیونی، سیستم های فازی و کنترل فازی، چاپ دانشگاه خواجه نصیرالدین طوسی، مهر ۱۳۸۰
- [5] Robert Fuller, Hans-Jürgen Zimmermann, "Fuzzy Reasoning for Solving Fuzzy Linear Programming Problems" Partially supported by the German Academic Exchange Service (DAAD) and Hungarian Research Foundation OTKA under contracts T 4281, I/3-2152 and T 7598. *Fuzzy Sets and Systems*, 60[1993]
- [6] Rafail N. Gasimov, K'ur\_sat Yenilmez, "Solving Fuzzy Linear Programming Problems with Linear Membership Functions" Mathematical Subject Classification: 90C70, 90C26. [2000]
- [7] Hsien-Chung Wu, "Duality Theory in Fuzzy Linear Programming Problems with Fuzzy Coefficients", Elsevier, *fuzzy sets and systems*[2002]
- [8] Pandian Vasant, "Optimization in Product Mix Problem Using Fuzzy Linear Programming", *IMA Journal of Management Mathematics* [2004]
- [9] Pandian Vasant, "Application of multi objective fuzzy linear programming in supply production planning problem", *IMA Journal of Management Mathematics* [2004]
- [10] A. Sittithumwat K. Tomsovic F. Souidi, "Optimizing Maintenance Resources in Distribution Systems with Limited Information"
- [11] Yan-Kuen Wu, Sy-Ming Guu, "A compromise model for solving fuzzy multiple objective linear programming problems"
- [12] H.J.Zimmermann, Description and optimization of fuzzy systems, *International Journal of General Systems*, 2(1976) 209-215.
- [13] Verdegay, J.L, "*fuzzy mathematical programming*", North Holland, Amsterdam, [1982]
- [14] Werners, B., "Interactive multiple objective programming subject to flexible constraints", *fuzzy set and systems* 23 [1987]
- [15] Zimmermann, H.J, "description and optimization of fuzzy system", *international journal of jeneral system* 2 [1976]
- [16] Chanas, "The use of parametric programming in FLP", *fuzzy set and systems* 11 [1983]
- [17] Lai, Y.J, C.L. Hwang, "interactive fuzzy linear programming", *fuzzy set and systems* 45 [1992]
- [18] Verdegay, J.L, "A dual approach to solve the fuzzy linear programming problem", *fuzzy set and systems* 14 [1984]
- [19] R.R. Yager, "A mathematical programming approach to inference with the capability of implementing default rules", *International Journal of Man-Machine Studies*, 29[1988] 685-714.
- [20] J.J.Buckley, "Possibilistic linear programming with triangular fuzzy numbers", *Fuzzy Sets and Systems*, (26) 135-138.[ 1988]
- [21] M.Delgado, J.L.Verdegay and M.A. Vila, Optimization models in fuzzy-logicbased decision support systems, Technical Report, No. 90-1-3, Universidad
- [22] Carlsson, C., and Korhonen, P., "A Parametric Approach to Linear Programming", *Fuzzy Sets and Systems*, Vol. 20, pp. 17-30.[ 1986]
- [23] هلیز و لیبرمن، ترجمه: م. مدرس، ا. آصف وزیری، برنامه ریزی ریاضی، چاپ دلازنگ، پائیز ۸۱